

ผลกระทบของขนาด รูป่าง และทิศทางของเส้นของชิ้นไม้ย่อยต่อความแข็งแรงของ โอลีอสแอล

Effect of Strand Configuration and Grain Directions on the Strength of Oriented Strand Lumber (OSL)

รศ.ดร.สุธรรม ประเสริฐบรรพ์

ดร.วรุษ วิสุทธิเมธากุร

สมยศ ชิรัสสิตสิน

ภาควิชาวิศวกรรมเครื่องกล คณะวิศวกรรมศาสตร์ มหาวิทยาลัยสงขลานครินทร์

หาดใหญ่ สงขลา 90112

โทร 074-212893, 222250, 222251, 211030 ต่อ. 2250-1 โทรสาร 074-212893

ผศ.ดร.บุญนา เกียรติวงศ์

สำนักวิชาเทคโนโลยีอุตสาหกรรมและทรัพยากร มหาวิทยาลัยลักษณ์

222 ต.ไทรบุรี อ.ท่าศาลา จ.นครศรีธรรมราช 80160

โทร. 66-75-672301, 66-75-672303 โทรสาร. 66-75-672302

Assoc.Prof.Dr.Suteera Prasertsan

Dr.Worawut Wisutmethangoon

Mr.Somjot Chirasatitsin

Mechanical Engineering Department, Faculty of Engineering, Prince of Songkla University

Haad Yai, Songkla 90112, Thailand

Tel. 66-74-212893, 222250, 222251, 211030 Ext. 2250-1 FAX 66-74-212893

Asst.Prof.Dr.Buhnum Kyokong

Institute of Industrial and Resources Technology, Walailak University.

222 Thaiburi, Thasala, Nakhon Si-Thammarat 80160, Thailand

Tel. 66-75-672301, 66-75-672303 FAX. 66-75-672302

บทคัดย่อ

โครงการวิจัยนี้ศึกษาเกี่ยวกับการนำเศษไม้ย่างที่มีเหลือจำนวนมากจากอุตสาหกรรมภายในประเทศมาทำเป็นไม้ประกอบโครงสร้างโดยเทคโนโลยีของไม้ประกอบที่จะศึกษาที่อยู่ในประกอบประเภทโอลีอสแอลซึ่งการนำแบบไม้หนา 1 มม. กว้าง 10 มม. และยาว 75 มม. มาเรียงซ้อนทับกัน และอัดติดด้วยการ ความแข็งแรงของโอลีอสแอลจะขึ้นอยู่กับทิศทางการวางตัวของแผ่นไม้ ลักษณะทางเเรขคณิตของแผ่นไม้ การ และกระบวนการผลิต โครงงานนี้ต้องการศึกษาในประเด็นของขนาด ทิศทางการวางแบบไม้ ที่มีต่อความแข็งแรงของ โอลีอสแอล เพื่อใช้เป็นแนวทางในการผลิตระดับอุตสาหกรรม การวิเคราะห์ความแข็งแรงของโอลีอสแอลในโครงสร้างนี้ใช้ทฤษฎีความเค้นสูงสุดและทฤษฎีความเสียหายของไฮ-อิลล์ เป็นแนวโน้มที่เกิดขึ้นในโอลีอสแอล เมื่อรับภาระใช้ทฤษฎีวัสดุที่เรียงเป็นชั้นๆ

สมมติฐานเบื้องต้นว่าความเสียหายที่เกิดขึ้นเกิดขึ้นที่เนื้อไม้มีใช้ที่กว้างหรือช่วงรอยต่อ การเรียงตัวของเก็บไม้ในโอลีอสแอลเป็นแบบสมมาตร ออกแบบคานขนาด $2'' \times 6'' \times 4\text{m}$ ผลจากการวิเคราะห์ทางการเรียงที่สามารถรับน้ำหนักบรรทุกได้มากที่สุดที่การเรียงมุ่งเป็นดังนี้คือ $[23^\circ, 20^\circ, 15^\circ, -42^\circ, -13^\circ]$ โมเมนต์ดัดสูงสุดที่รับได้คือ $9,322.8 \text{ N}\cdot\text{m}$ ตามทฤษฎีความเค้นสูงสุด และตามทฤษฎีความเสียหายของไฮ-อิลล์ การเรียงมุ่งที่ได้คือ $[19^\circ, 13^\circ, 2^\circ, -11^\circ, -10^\circ]$ โมเมนต์ดัดสูงสุดคือ $8,231.63 \text{ N}\cdot\text{m}$ เปรียบเทียบกับโอลีอสแอลที่ไม่ได้เรียงมุ่ง (แผ่นไม้เรียงตัวแน่นกับความยาวของคาน) มีความแข็งแรงขึ้นประมาณ 33% ตามทฤษฎีความเค้นสูงสุดและ 17% ตามทฤษฎีความเสียหายของไฮ-อิลล์ ผลที่ได้จากการวิเคราะห์ยังต้องนำไปใช้ในการสร้างต่อไป

Abstract

This research studied the use of waste wood from rubber wood industry in the country to make wood-based structural composite. Oriented strand lumber or OSL was considered. It is composed of strands, roughly 1 mm. thick, 10 mm. wide, 75 mm. long. The strands are smeared with an adhesive or resin, formed a fluffy mat, pressed and heated, and consolidated into an OSL. Strength properties of OSL are affected by strand orientation, strand geometry, adhesive, and manufacturing. This paper present an effect of size and alignment of strands on the strength of OSL in order to guide for an industry. Failure theories, such as Maximum Stresses Theory and Tsai-Hill Theory, were applied for predicting the strength. Stresses in OSL were determined by laminate theory. Assuming that the failure occurs in wood, not in an adhesive or interface, was established. The results of these were that OSL 2" x 6" x 4m optimized with symmetrical lamination was oriented [23°, 20°, 15°, -42°, -13°]s, maximum moment of 9,322.8 N·m, by Maximum Stresses Theory and [19°, 13°, 2°, -11°, -10°]s, maximum moment of 8,231.63 N·m, by Tsai-Hill Theory. Comparing with parallel strand alignment of OSL, the strength of OSL optimized by these theories was increased by 33% and 17%, respectively.

1.บทนำ

ไม่เป็นวัสดุอย่างหนึ่งที่ใช้เป็นโครงสร้างม้าห้านานดังแต่อดีตจนถึงปัจจุบัน ตัวอย่างการใช้งานก็ได้แก่ การนำไปใช้เป็นฝาบ้าน คาน ตง พื้นบ้าน เสา โครงหลังคา เป็นต้น ในอดีตที่ผ่านมา การนำไปใช้ในรั้นจะแปรรูปจากตันไม้เป็นไม้ท่อน แผ่นไม้แปรรูป แล้วจึงนำไปใช้งานต่อไป และในช่วงสองครั้งที่สอง ทรัพยากรไม้ถูกใช้ไปมากจนไม่สามารถปลูกทดแทนได้ทันใช้งาน จึงมีการพัฒนาแผ่นไม้อัด (plywood) ซึ่งมีลักษณะเป็นไม้แผ่นประกอบ เพื่อใช้ในการทำพื้น ผนัง และหลังคาแทนแผ่นไม้แปรรูป และได้มีการพัฒนาเรื่อยมาเป็น แผ่นไม้อัด (COM-PLY® panel) แผ่นชิ้นไม้อัด (particleboard) และ แผ่นแคนไม้อัดเรียงเสียง (oriented strand board : OSB) ที่ใช้กันอยู่ในปัจจุบัน。

ไม่ประกอบโครงสร้างเช่น คานหรือเสา ได้มีการพัฒนาดังต่อไปนี้ ทศวรรษที่ 1970 โดยมีความพยายามที่จะใช้เศษเหลือจากการทำอุตสาหกรรมไม้ เช่น เศษไม้บัง ไม้ท่อนที่มีขนาดเล็ก เป็นต้น ยกตัวอย่างไม้อัดประกอบที่มีใช้กันอยู่ในปัจจุบันได้แก่ แผ่นแปรรูปไม้อัดประกอบ (laminated veneer lumber : LVL) , แผ่นแปรรูปแบบไม้อัดขนาน (parallel strand lumber : PSL) , แผ่นแปรรูปแคนไม้อัดเรียงเสียง (oriented strand lumber : OSL) (Malony 1996)

ขั้นตอนการผลิตโอเอสแอลโดยทั่วไปคือการนำแคนไม้ (strand) อาบกาวแล้วเรียงช้อนกับกัน จากนั้นจึงอัดให้ได้ขนาดตามต้องการ ไม้อเอสแอลที่ออกจำหน่ายสู่ตลาดมีน้ำหนักและด้วยใช้ชื่อทางการค้าว่า

TimberStrand™ LSL ผลิตโดย MacMillan Bloedel, Ltd. ประเทศแคนาดา ซึ่งปัจจุบันเปลี่ยนเป็น Trus Joist MacMillan เป็นโอเอสแอล ที่มาจากแคนไม้ที่เป็นเศษเหลือจากไม้บัง (veneer) ยาวประมาณ 12 นิ้ว เป็นการนำเศษไม้บังมาเรียงเป็นแนวตามยาว นอกเหนือนั้นแล้ว ยังมีโอเอสแอลที่ใช้ชื่อทางการค้าอื่น ๆ อีกเช่น Scrimber™ ของ ประเทศอสเตรเลีย และ Zephyrwood™ ของประเทศญี่ปุ่น แต่สองชนิดหลังนี้ยังไม่ประสบความสำเร็จด้านการตลาดเท่าที่ควร

โอเอสแอลสามารถผลิตได้จากกระบวนการผลิตแผ่นเก็บไม้อัดเรียงเสียง (oriented strand board : OSB) แต่ต้องปรับปรุงกระบวนการเรียงແຕบไม้เพื่อเพิ่มความแข็งแรงให้เหมาะสมกับการใช้งาน โอเอสแอลจึงกำลังอยู่ในระหว่างการพัฒนาเนื่องจากคุณสมบัติความแข็งแรง ยังต้องทำการทดสอบให้ได้ค่าตามมาตรฐาน แต่น่าจะมีแนวโน้มไปในทางที่ดีในอนาคต

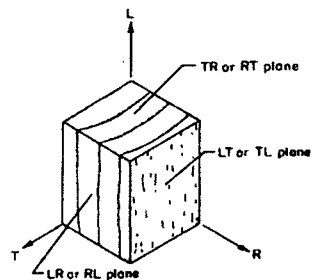
ในประเทศไทยมีอุตสาหกรรมไม้ยังพารา ซึ่งมีเศษเหลือจำนวนมาก เป็นต้นที่ประมาณการว่าไม้ยังพารา 1 ไร่ จะประกอบด้วยเศษเหลือเป็นไม้ท่อนขนาดเล็ก (เส้นผ่าศูนย์กลางน้อยกว่า 15 ซม.) 24.3 ลบ. ม. และปีกไม้จากการแปรรูปในโรงเรือ 10.3 ลบ. ม. จากพื้นที่เพาะปลูกกว่า 12 ล้านไร่ และอายุการตัดโคน 25 - 30 ปี จึงประมาณการได้ว่า จะมีเศษไม้ประมาณ 10.4 ล้าน ลบ. ม. ต่อปี (Prasertsan and Vanapruk, 1998)

แนวคิดเบื้องต้นของโครงการวิจัยนี้จึงต้องการใช้เศษไม้ยังพารา มาทำเป็นไม้อัดประกอบขนาดใหญ่ เพื่อทดสอบไม้เนื้อแข็งในการใช้งาน เป็นไม้โครงสร้าง เทคนิคของไม้อัดประกอบที่จะศึกษาคือโอเอสแอล (Oriented Strand Lumber : OSL) และต้องการศึกษาในประเด็นของขนาด การเรียงตัวແຕบไม้ และชนิดของการที่มีต่อความแข็งแรงของ โอเอสแอล เพื่อใช้เป็นแนวทางในการผลิตระดับอุตสาหกรรมต่อไป

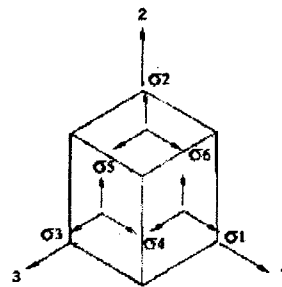
2.ทฤษฎีความเสียหาย

ไม้อัดเป็นวัสดุของโรติโรบีคือวัสดุที่มีคุณสมบัติขึ้นอยู่กับพิศวงที่ตั้งจากกัน 3 ทิศทาง ซึ่งจะเป็นแกนหลักในการคำนวณหาความเค้น และใช้ในการพิจารณาความเสียหายด้วย แกนหลักทั้ง 3 คือ

- (1) แกนตามเสียง ใช้สัญลักษณ์ L หรือ 1
 - (2) แกนตามแนวเส้นสัมผัส ใช้สัญลักษณ์ T หรือ 2
 - (3) แกนตามแนวรัศมี ใช้สัญลักษณ์ R หรือ 3
- แกนหลักทั้งสามจะก่อให้เกิดระนาบที่ตั้งจากกัน 3 ระนาบคือ
- (1) ระนาบตามเสียง-ตามเส้นสัมผัส ใช้สัญลักษณ์ LT หรือ 12
 - (2) ระนาบตามเสียง-ตามรัศมี ใช้สัญลักษณ์ LR หรือ 13
 - (3) ระนาบตามเส้นสัมผัส -ตามรัศมี ใช้สัญลักษณ์ TR หรือ 23
- ดังรูปที่ 1



รูปที่ 1. ทิศทางและระนาบต่าง ๆ ของไม้



รูปที่ 2 ความเด่นต่าง ๆ ที่เกิดขึ้นในองค์ประกอบเล็ก ๆ

2.1 ทฤษฎีความเด็นสูงสุด (Maximum Stress Theory)

สำหรับความเกินในระบบนี้ การเสียหายจะเกิดขึ้นเมื่อความเค้นในแกนหลักในแนวใดแนวหนึ่งของวัสดุเกินความด้านทางแรง (strength) ในแกนนั้นๆ

$$Y > \sigma_2 \quad \dots \dots \dots \quad (19)$$

เมื่อ $\sigma_1, \sigma_2, \tau_{12}$ เป็นความเค้นในระนาบในแกนหลักของวัสดุ X, Y, S เป็นความต้านทานแรงในแกนหลักของวัสดุ

2.2 ทฤษฎีความเสียหายของ Tsai-Hill Theory

สำหรับความคื้นในระบบแล้วเกณฑ์ที่ใช้ในการพิจารณาจะเป็นไปตามสมการ

$$\frac{\sigma_1^2}{X^2} - \frac{\sigma_1\sigma_2}{X^2} + \frac{\sigma_2^2}{Y^2} + \frac{\tau_{12}^2}{S^2} = 1 \dots \dots \dots (2)$$

ความเสียหายจะเกิดขึ้นเมื่อผลลัพธ์ทางด้านช้ายของสมการมีค่ามากกว่า 1

3. การคำนวณหาความเค้นที่เกิดขึ้นในโคลอสเซลล์

โอลิเมต์ที่ออกแบบเป็นคานที่มีการรองรับอย่างง่าย (simply supported beam) มีน้ำหนักบรรทุกกระทำตามยาว (transverse load) ทำให้เกิดโมเมนตัลสูงสุดที่ต่ำแห่งกึ่งกลางคาน โอลิเมต์ลักษณะเป็นชั้นที่มีการเรียงมุมต่าง ๆ กัน เพื่อให้มีความแข็งแรงสูงสุด การคำนวณความเค้นจึงอาศัยทฤษฎีวัสดุที่เรียงชื่อเป็นชั้น (Laminate Theory) โดยความเค้นที่เกิดขึ้นในองค์ประกอบเล็ก ๆ มีสัญลักษณ์เป็นไปตามรูปที่ 2

$\tau_1 \tau_2 \tau_3$ คือ ความคุณตั้งฉาภที่เกิดขึ้นในทิศทาง 1 2 และ 3
ตามลำดับ $\tau_4 \tau_5 \tau_6$ คือ ความคุณเฉือนที่เกิดขึ้นในระนาบ 12 23
และ 13 ตามลำดับ อาจเขียนเป็น $\tau_{12} \tau_{23} \tau_{13}$

3.1 ໂອເສແວລື່ມີລັກນະໂປ່ງວິສດອອຣົໂຖໂກປີ

ความสัมพันธ์ระหว่างความเด็นและความเครียดในระนาบของไม้ซึ่งเป็นวัสดุอิฐໂගรปัคกันสามารถเขียนให้อยู่ในรูปของเมทริกซ์ได้

$$\left\{ \begin{array}{l} \sigma_1 \\ \sigma_2 \\ \tau_{12} \end{array} \right\} = \left[\begin{array}{ccc} Q_{11} & Q_{12} & 0 \\ Q_{12} & Q_{22} & 0 \\ 0 & 0 & 2Q_{66} \end{array} \right] \left\{ \begin{array}{l} \varepsilon_1 \\ \varepsilon_2 \\ \frac{1}{2}\gamma_{12} \end{array} \right\} \quad \dots \dots \dots \quad (3)$$

กีจ

$$Q_{11} = \frac{E_1}{1 - v_{12}v_{21}}$$

$$Q_{12} = \frac{v_{12}E_2}{1 - v_{12}v_{21}} = \frac{v_{21}E_1}{1 - v_{12}v_{21}}$$

$$Q_{22} = \frac{E_2}{1 - v_{12}v_{21}}$$

$$Q_{66} = G_{12}$$

ໂຮງໝໍ

E₁ คือโมดูลสัญญาณใหม่ที่พิเศษทางตามเสียง
E₂ คือโมดูลสัญญาณใหม่ในพิเศษทางตั้งจากเสียง
G₁₂ คือโมดูลส์เนื่อง
V₁₂ และ V₂₁ คืออัตราส่วนพัธศ์ของ

ପ୍ରକାଶକ

$$\frac{V_{12}}{E_1} = \frac{V_{21}}{E_2}$$

หรืออาจเขียนได้เป็น

.....(4)

สำหรับความคื้นที่เกิดขึ้นในพิศทางนานและตั้งจากเสียง
สามารถหาได้จากความคันที่เกิดขึ้นในพิศทางใด ๆ จากสมการ

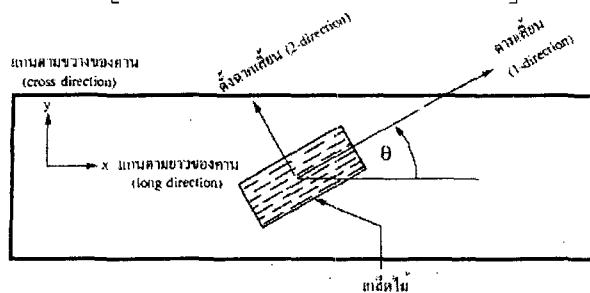
$$\begin{Bmatrix} \sigma_1 \\ \sigma_2 \\ \tau_{12} \end{Bmatrix} = \begin{bmatrix} \cos^2\theta & \sin^2\theta & 2\sin\theta\cos\theta \\ \sin^2\theta & \cos^2\theta & -2\sin\theta\cos\theta \\ -\sin\theta\cos\theta & \sin\theta\cos\theta & -(\cos^2\theta - \sin^2\theta) \end{bmatrix} \begin{Bmatrix} \sigma_x \\ \sigma_y \\ \tau_{xy} \end{Bmatrix}$$

หรือเขียนได้เป็น

$$\{\sigma\}_{12} = [T]\{\sigma\}_{xy}$$

เมื่อ $[T]$ คือเมตริกซ์ดัดแปลงโดยที่

$$[T] = \begin{bmatrix} \cos^2\theta & \sin^2\theta & 2\sin\theta\cos\theta \\ \sin^2\theta & \cos^2\theta & -2\sin\theta\cos\theta \\ -\sin\theta\cos\theta & \sin\theta\cos\theta & -(\cos^2\theta - \sin^2\theta) \end{bmatrix}$$



รูปที่ 3 ทิศทางตามยาวและตั้งฉากของคาน (x-direction, y-direction) และทิศทางข้าง (1-direction) และตั้งฉากเสี่ยง (2-direction)

3.2 การคำนวณความเค้น

การคำนวณความเค้นในงานวิจัยนี้อาศัยทฤษฎีวัสดุที่เรียกว่าเป็นชั้น (Laminate Theory) ซึ่งอ้างอิงสมมติฐานของเครอร์ชซอฟฟ์ (Kirchhoff Hypothesis) และสมบัติของวัสดุอื่นๆ โตรอปิกเป็นหลัก

ความสัมพันธ์ระหว่างภาระที่ได้รับและความเครียดที่เกิดขึ้นเป็นไปตามสมการ (Jones 1975)

$$\{N\} = [A]\{\varepsilon\} + [B]\{\kappa\} \quad \dots \dots \dots (5)$$

$$\{M\} = [B]\{\varepsilon\} + [D]\{\kappa\} \quad \dots \dots \dots (6)$$

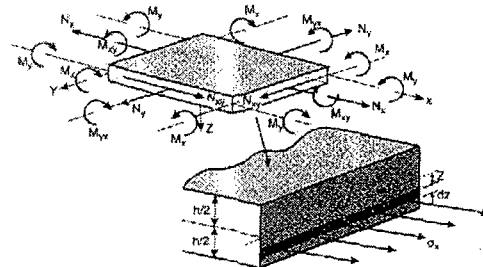
เมื่อ

$\{N\}$ คือ เวกเตอร์ของน้ำหนักบรรทุกที่กระทำตามแนวแกนประกอบด้วย N_x , N_y และ N_{xy}

$\{M\}$ คือ เวกเตอร์ของโมเมนต์ดัดที่กระทำตามแนวแกนประกอบด้วย M_x , M_y และ M_{xy}

$\{\varepsilon\}$ คือ เวกเตอร์ของความเครียดที่แนวกึ่งกลางหรือแนวอ้างอิงประกอบด้วย ε_x , ε_y และ γ_{xy}

$\{\kappa\}$ คือ เวกเตอร์ของความคงที่แนวกึ่งกลางหรือแนวอ้างอิงประกอบด้วย κ_x , κ_y และ κ_{xy}



รูปที่ 4 ลักษณะและการต่าง ๆ ที่กระทำต่อวัสดุที่เรียงตัวเป็นชั้น

$$A_{ij} = \sum_{k=1}^n Q_{ijk}(z_k - z_{k-1})$$

$$B_{ij} = \frac{1}{2} \sum_{k=1}^n Q_{ijk}(z_k^2 - z_{k-1}^2)$$

$$D_{ij} = \frac{1}{3} \sum_{k=1}^n Q_{ijk}(z_k^3 - z_{k-1}^3)$$

[A] คือเมตริกซ์ความแข็งแกร่งยืดหด (Extensial Stiffness Matrix)

[B] คือเมตริกซ์ความแข็งแกร่งควบคู่ (Coupling Stiffness Matrix)

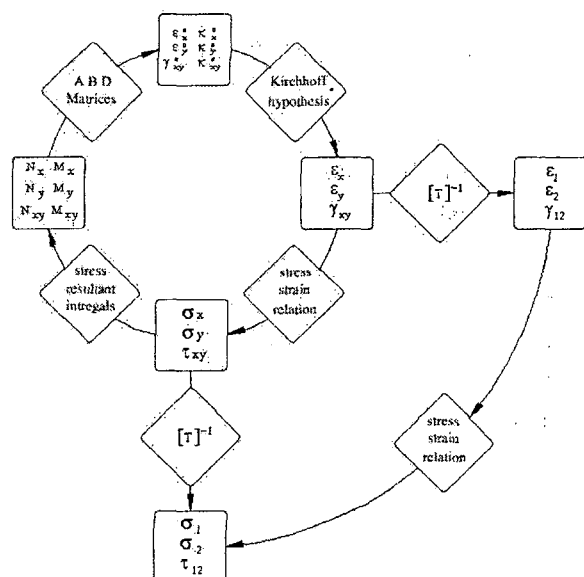
[D] คือเมตริกซ์ความแข็งแกร่งดัดโค้ง (Bending Stiffness Matrix)

z_k คือระยะจากแนวกึ่งกลางหรือแนวอ้างอิงถึงชั้นที่ k

\bar{Q}_{ijk} คือ矩阵ซิกเกตที่ i หลักที่ j ของเมตริกซ์ความแข็งแกร่ง $[Q]$ ในชั้นที่ k

[Q] คือเมตริกซ์ความแข็งแกร่งเป็นพังก์ชันของมุนราห์ว่างแกนต่าง ๆ และแกนหลักของวัสดุ

ตัวห้อย x , y , 1 , 2 แสดงถึงทิศทางของความเค้นตามแกนต่าง ๆ ตัวห้อย xy แสดงระนาบตามแกน xy ได้ ฯ ตัวห้อย ij แทนสมाचิกแคลที่ i หลักที่ j ของเมตริกซ์ และ[A] [B] [D] เป็นเมตริกซ์ขนาด 3×3



รูปที่ 5 แผนภาพแสดงการคำนวณหาความเค้นในแนวข้างและตั้งฉากเสี่ยง (Hyer 1998)

วิจัยการหาความคันตามแกนหลักของวัสดุเป็นไปตามรูป () เมื่อทราบสมบัติของวัสดุ [A] [B] [D] และทราบน้ำหนักบรรทุก (load) $N_x N_y N_{xy} M_x M_y M_{xy}$ ก็จะหาความเครียดที่แนวอ้างอิงได้ และใช้สมดุลของเครอร์ซอฟฟีเพื่อหาความเครียดของชั้นต่าง ๆ จากนั้นใช้ความสัมพันธ์ระหว่างความคัน-ความเครียดและเมทริกซ์ตัวแปลง เพื่อคำนวณความคันตามแกนหลักของชั้น ความคันที่ได้จะนำไปคำนวณน้ำหนักบรรทุกสูงสุดต่อไป

ในกรณีที่ค่านองรบอย่างง่าย และรับโมเมนต์ตัด $M_x = m_x$ เปียงอย่างเดียว $N_x = N_y = N_{xy} = M_y = M_{xy} = 0$

ความคันที่เกิดขึ้นในแต่ละชั้นเป็นฟังก์ชันเชิงเส้นตรงกับโมเมนต์ตัด m_x (Hyer 1998)

$$\sigma_1 = A \cdot m_x$$

$$\sigma_2 = B \cdot m_x$$

$$\tau_{12} = C \cdot m_x$$

เมื่อ $A B C$ เป็นค่าคงที่ได้จากการคำนวณตามสมการที่ (5) และ (6) เป็นความคันในแต่ละชั้น

แทนค่าในทฤษฎีความคันสูงสุดตามสมการที่ (1) เพื่อหาโมเมนต์ตัดสูงสุด

$$X = Am_x \quad \dots\dots\dots(7\text{ก})$$

$$Y = Bm_x \quad \dots\dots\dots(7\text{ข})$$

$$S = Cm_x \quad \dots\dots\dots(7\text{ค})$$

และแทนค่าลงสมการที่ (2) ตามทฤษฎีความเรียหายของไช-ชิลล์

$$\frac{(A \cdot m_x)^2}{X^2} - \frac{(A \cdot m_x)(B \cdot m_x)}{X^2} + \frac{(B \cdot m_x)^2}{Y^2} + \frac{(C \cdot m_x)^2}{S^2} = 1$$

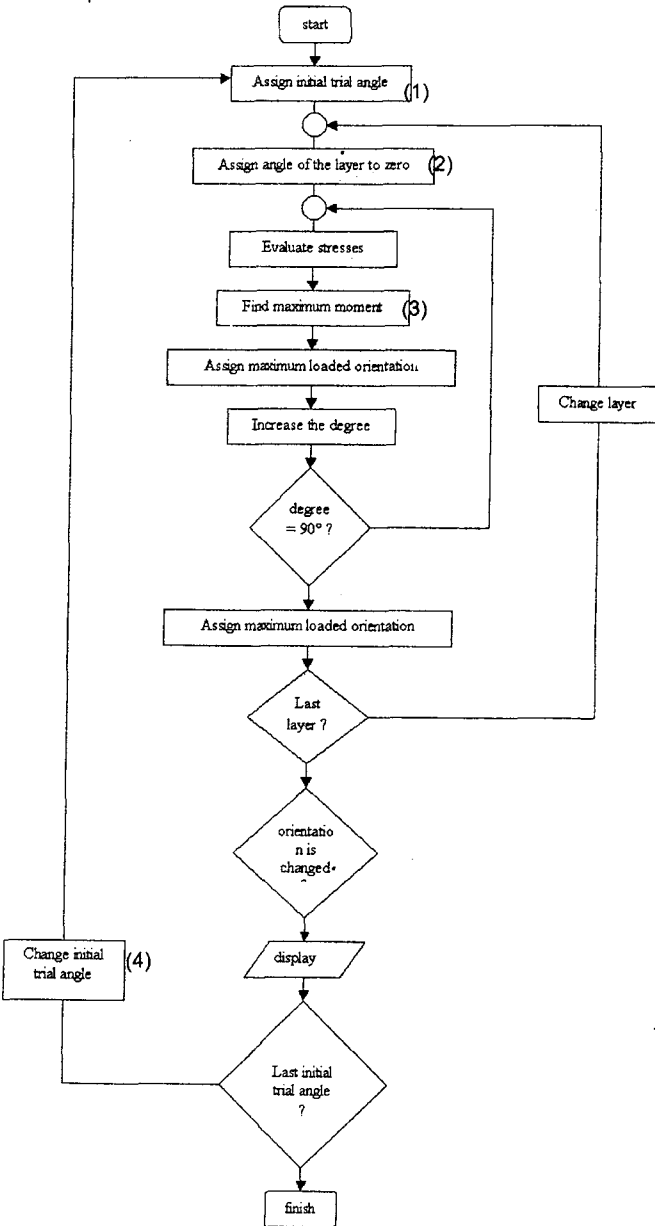
จะได้

$$m_x = \sqrt{\frac{1}{\frac{A^2}{X^2} - \frac{A \cdot B}{X^2} + \frac{B^2}{Y^2} + \frac{C^2}{S^2}}} \quad \dots\dots\dots(8)$$

4. การเรียงตัวที่เหมาะสมของชั้นไม้ย้อย

แผนภาพที่ใช้สำหรับหาการเรียงตัวที่เหมาะสมที่สุดหรือในโครงงานนี้คือหาการเรียงตัวที่สามารถรับน้ำหนักบรรทุกได้มากที่สุดเป็นไปดังรูปที่ 6 แผนภาพเริ่มด้วย (1) สุ่มมุ่งที่จะทำการเริ่มทำการคันหาตามวิธีทันท้ายแบบสุ่มครั้งละหนึ่งตัวแปร (univariate search method) หากความคันในชั้นตอนที่ (2) และน้ำหนักบรรทุกที่สามารถรับได้สูงสุดในแต่ละชั้นในชั้นตอนที่ (3) ชั้นที่รับภาวะได้ดีที่สุดจะเป็นชั้นที่กำหนดความแข็งแรงของไฮดรอลิกที่การเรียงตัวนั้น ๆ เมื่อได้ภาวะสูงสุดที่รับได้ในแต่ละแบบของการเรียงตัวแล้วก็จะนำมาเปรียบเทียบกันในแต่ละแบบของการเรียงตัวแล้วหาแบบการเรียงตัวที่ให้ภาวะสูงสุดเป็นแบบที่

ดีที่สุด งานนี้สุ่มมุ่งเริ่มต้นใหม่(4) และทำซ้ำกระบวนการข้างต้นอีกจนครบมุ่งเริ่มต้นการคันหา

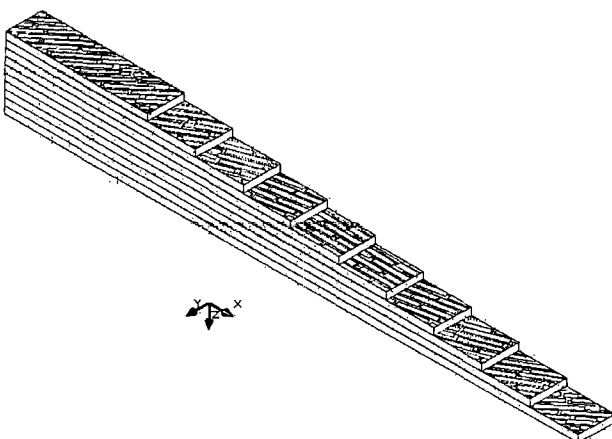


รูปที่ 6 แผนภาพการหาการเรียงตัวที่เหมาะสมที่สุดของไฮดรอลิกโดยหมายเลขอ (2) คำนวณความคันตามสมการที่ (5) และ (6) หมายเลขอ (3) คำนวณน้ำหนักบรรทุกสูงสุดตามสมการที่ (7) และ (8)

5. ผลและวิจารณ์ผล

ไฮดรอลิกขนาด $2 \text{ นิ้ว} \times 6 \text{ นิ้ว} \times 4 \text{ เมตร}$ รองรับแบบง่ายที่ปลายทั้งสองข้างของคาน รับน้ำหนักบรรทุกแบบกระจายสม่ำเสมอ และมีการเรียงชั้นแบบสมมาตร แบ่งเป็น 10 ชั้น ดังนั้นแต่ละชั้นจะมีความหนา 0.6 นิ้ว (0.0152m) การเรียงตัวที่รับน้ำหนักบรรทุกสูงสุดตามทฤษฎีความคันสูงสุดที่ $[-23^\circ, -20^\circ, -15^\circ, 43^\circ, -1^\circ]$ (สัญลักษณ์ s หมายถึงสมมาตรกับแนวกีกลาง) น้ำหนักบรรทุกที่รับได้สูงสุด (maximum load) คือ $1.8373 \times 10^5 \text{ N}\cdot\text{m}/\text{m}$ (หน่วยเป็นโมเมนต์ตัดต่อ

หนึ่งหน่วยความกว้างของคาน) หรือโมเมนต์ตัวสูงสุดที่รับได้คือ $9,333.48 \text{ N}\cdot\text{m}$ คิดเป็นน้ำหนักบรรทุกแบบกระจาดสม่ำเสมอได้ $4,666.74 \text{ N/m}$ และคำนวณตามทฤษฎีความเสียหายของไช-ชิลล์การเรียงมุงที่ได้คือ $[19^\circ, 13^\circ, 2^\circ, -11^\circ, -10^\circ]$ น้ำหนักบรรทุกที่รับได้สูงสุดคือ $1.6204 \times 10^5 \text{ N}\cdot\text{m}/\text{m}$ หรือโมเมนต์ตัวสูงสุดที่รับได้คือ $8,231.63 \text{ N}\cdot\text{m}$ คิดเป็นน้ำหนักบรรทุกแบบกระจาดสม่ำเสมอได้ $4,115.82 \text{ N/m}$ เปรียบเทียบกับโอลอสแอลที่แบบไม่เรียงตัวขานกับแนวตามยาวของคานซึ่งรับน้ำหนักสูงสุดได้ $1.38 \times 10^5 \text{ N}\cdot\text{m}/\text{m}$ น้ำหนักบรรทุกสูงสุดตามทฤษฎีความเดินสูงสุดและตามทฤษฎีความเสียหายของไช-ชิลล์มีค่ามากกว่า 33% และ 17% ตามลำดับ



รูปที่ 7 การเรียงตัวของแบบไม่ในแต่ละชั้นของโอลอสแอล

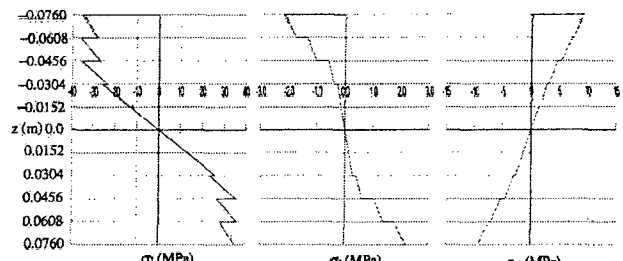
ลักษณะการเรียงตัวของแบบไม่ในแต่ละชั้นเป็นดังรูปที่ 7 ซึ่งบนสุดและชั้นล่างสุดจะทำมุมกับแนวตามยาวของคานมากที่สุด -23° ตามทฤษฎีความเดินสูงสุดและ 19° ตามทฤษฎีความเสียหายของไช-ชิลล์ชั้นที่อยู่ต่ำลงมาก็จะทำมุมกับแนวตามยาวของคานน้อยลง ความเดินที่เกิดขึ้นในแนวตามและตั้งจากเสียนเป็นดังตารางที่ 1 และ 2

ตารางที่ 1 ความเดินต่างๆ ที่เกิดขึ้นในแนวขานและตั้งจากเสียนของโอลอสแอลที่เรียงมุ่งตามทฤษฎีความเดินสูงสุด (MPa)

มุ่ง	σ_1	σ_2	τ_{12}
$-23^\circ (z = -0.0760 \text{ m})$	-35.89	-2.65	-13.90
$-20^\circ (z = -0.0608 \text{ m})$	-35.80	-1.77	-11.00
$-15^\circ (z = -0.0456 \text{ m})$	-35.50	-8.98	-7.860
$43^\circ (z = -0.0304 \text{ m})$	-35.89	4.46	4.00
$-1^\circ (z = -0.0152 \text{ m})$	-18.70	4.07	-1.87

ตารางที่ 2 ความเดินต่างๆ ที่เกิดขึ้นในแนวขานและตั้งจากเสียนของโอลอสแอลที่เรียงมุ่งตามทฤษฎีความเสียหายของไช-ชิลล์ (MPa)

มุ่ง	σ_1	σ_2	τ_{12}
$19^\circ (z = -0.0760 \text{ m})$	-30.95	-1.75	8.41
$13^\circ (z = -0.0608 \text{ m})$	-33.20	-0.98	6.34
$2^\circ (z = -0.0456 \text{ m})$	-35.01	-0.24	3.71
$-11^\circ (z = -0.0304 \text{ m})$	-28.54	0.10	1.19
$-10^\circ (z = -0.0152 \text{ m})$	-14.27	0.05	6.52



รูปที่ 8 ความเดิน ณ ตำแหน่งต่างๆ บนโอลอสแอลที่การเรียงตัวแบบสมมาตรตามทฤษฎีความเดินสูงสุดที่สามารถรับน้ำหนักบรรทุกได้สูงสุด

โอลอสแอลที่ออกแบบตามทฤษฎีความเดินสูงสุด ความเดินอัดสูงสุดในแนวตามเสียนที่เกิดขึ้นคือ 35.89 MPa ที่ $z = -0.0760 \text{ m}$ ในชั้นที่ 1 ซึ่งเท่ากับค่าความด้านทานแรงอัดสูงสุดของไม้ ที่ชั้นที่ 2 3 และ 4 ให้ค่าใกล้เคียงกับค่าความด้านทานแรงอัดเช่นกัน คือ 35.80 MPa 35.50 MPa และ 35.89 MPa ตามลำดับ ความเดินดึงสูงสุดตามแนวเสียนคือ 35.89 MPa ที่ $z = 0.0760 \text{ m}$ ซึ่งมีขนาดเท่ากับความเดินอัดสูงสุดเนื่องจากโอลอสแอลมีความสมมาตรเปรียบเทียบกับค่าความด้านทานแรงดึงสูงสุดตามแนวเสียนคือ 56.68 MPa ความเดินอัดและความเดินดึงสูงสุดในแนวตั้งจากเสียนมีขนาดเท่ากับ 2.65 MPa เปรียบเทียบกับค่าความด้านทานแรงอัดและแรงดึงตั้งจากเสียนซึ่งมีค่า 11.87 MPa และ 2.80 MPa ตามลำดับความเดินเฉือนที่เกิดขึ้นสูงสุดมีขนาด 13.90 MPa โดยที่ค่าความด้านทานแรงเฉือนสูงสุดมีค่า 15.99 MPa

สำหรับโอลอสแอลที่ออกแบบตามทฤษฎีความเสียหายของไช-ชิลล์ ความเดินตามแนวเสียนสูงสุดมีขนาด 35.01 MPa ในชั้นที่ 3 ความเดินตั้งจากเสียนสูงสุดมีขนาด 1.75 MPa ในชั้นที่ 1 และความเฉือนสูงสุดมีขนาด 8.41 MPa

แบบไม้ที่บีบมุ่งไปจากแนวตามยาวของคาน มีผลทำให้ (1) ความเดินตามแนวเสียนลดลง แต่ความเดินตั้งจากเสียนและความเดินเฉือนเพิ่มขึ้น และ (2) ความแข็งแกร่ง (stiffness) ของคานลดลง ส่งผลให้ความเดินตามแนวยาวของคานเพิ่มขึ้นอีก (น้ำหนักบรรทุกยังคงเท่าเดิม) จากผลทั้งสองประการนี้ ถ้าอัตราการเพิ่มขึ้นของความเดินที่มีผลเนื่องมาจากความแข็งแกร่งของคานที่ลดลงนั้น ทำให้ความเดินตามแนวเสียนและตั้งจากเสียนไม่เกินความด้านทานแรง ผลลัพธ์ก็คือคานจะสามารถรับน้ำหนักบรรทุกได้เพิ่มขึ้นอีก

ความเสียหายที่เกิดขึ้นของโอลอสแอลันน์เกิดจากความเสียหายเนื่องจากแรงอัดดังจากเสียนเป็นสำคัญ ตามปกติแล้วความเค้นอัดที่เกิดขึ้นสูงสุดที่ทำกับความด้านทานแรงอัดจะเกิดที่ชั้นบนสุดของโอลอสแอล เมื่อน้ำหนักบาร์รากลางค่า ๆ หนึ่ง ถ้าหากน้ำหนักเกินกว่านั้นแล้ว จะเกิดความเสียหายที่ชั้นบนสุดก่อน เพื่อมิให้เกิดความเสียหายจึงต้องเรียงแบบไม่ในชั้นที่อัดลงมาเพื่อลดความเค้นที่เกิดขึ้นกับชั้นบนสุดแล้ว กระหายความเค้นมายังชั้นอื่น ๆ ซึ่งจะสังเกตได้จากการเรียงตัวที่เหมาะสมที่สุดนั้น ความเค้นจะกระจายไปยังชั้นที่สองและที่สามมากขึ้น จนเมื่อค่านเข้าใกล้ค่าความด้านทานแรงแสดงดังรูปที่ 8

6.สรุป

การทำการเรียงตัวที่เหมาะสมโดยวิเคราะห์ความเค้นที่เกิดขึ้นจากทฤษฎีการเรียงตัวเป็นชั้นจะคำนึงถึงคุณสมบัติของแต่ละชั้น เมื่อเกิดการเปลี่ยนแปลงในชั้นใดชั้นหนึ่งความเค้นก็จะเปลี่ยนแปลงไปมีผลให้การสำหรับการเรียงตัวที่เหมาะสมมีความซับซ้อนมากขึ้น ผู้ที่ได้จากการทำการเรียงตัวที่เหมาะสมที่สุดหรือสำหรับโครงงานนี้คือการเรียงตัวที่สามารถรับน้ำหนักบรรทุกได้สูงสุดให้ผลดังนี้คือ การเรียงมุ่งจะเรียงจากมากไปหาน้อยจากชั้นบนสุดลงมาอย่างชั้นที่อยู่กึ่งกลางมีผลให้เกิดการกระจายความเค้นและทำให้ความเค้นที่เกิดขึ้นในแต่ละชั้นมีค่าใกล้เคียงกันกับค่าความด้านทานแรงของไม้ แนวโน้มซึ่งเป็นไปได้สำหรับการเรียงตัวของแบบไม้ในโอลอสแอลแบบสมมาตรเรียงต้องเรียงแบบไม่ในชั้นบนสุดหรือยังไกลอกออกไม่จากแนวกึ่งกลางคานให้มีมุมมากกว่าชั้นที่อยู่ใกล้กับแนวกึ่งกลางคาน ซึ่งการเรียงตัวในลักษณะนี้พบได้ในงานวิจัยของ Sharma and Sharon (1993) ด้วย

ค่าที่ได้จากการคำนวณพื้นที่การถอดเปลี่ยนแปลงที่ชั้นบนสุดมีค่าของวัสดุสมควรห่วงແບบไม้และการโดยในโครงงานนี้ตั้งสมมติฐานว่า สมมติทางกล้อนได้แก่ ไม่มีสัมภาระที่ติดอยู่และความด้านทานแรงของโอลอสแอลเท่ากับไม้ การคำนวนหาครัวใช้สมบัติของวัสดุสมเพื่อความถูกต้องแม่นยำมากขึ้น ซึ่งอาจจะใช้ทฤษฎีวัสดุสมเพื่อช่วยในการคำนวน

เอกสารอ้างอิง

- [1] Forest Products Laboratory. 1999. Wood Handbook-Wood as an Engineering Material. Gen. Tech. Rep. FPL-GTR-113. Madison, WI: U.S. Department of Agriculture, Forest Service, Forest Products Laboratory.
- [2] Hyer, M.W. 1998. Stress Analysis of Fiber-Reinforced Composite Materials. International edition. Singapore : McGraw-Hill Book Co.
- [3] Jones, R.M., 1975. Mechanics of Composite Materials. International Student Edition, Tokyo, Japan : Kosaido Printing Co., Ltd.
- [4] Malony,T.M., 1996. "The Family of Wood Composite Materials", Forest Product Journal, Vol 46 no 2. , 19-26.

- [5] Prasertsan, S. and Vanapruk P., 1998. "Rubber Plantation : an Overlooked Dendropower", The 5th ASEAN Science and Technology Week, 103-111. Hanoi : ASEAN Committee on Science and Technology.
- [6] Sharma V. and Sharon A., 1993. "Optimal Orientation of Flakes in Oriented Strand Board (OSB)", Experimental Mechanics. Vol 33 no 2. , 91-98.